

DETECTION OF E6/E7 mRNA FROM CaSki CELLS

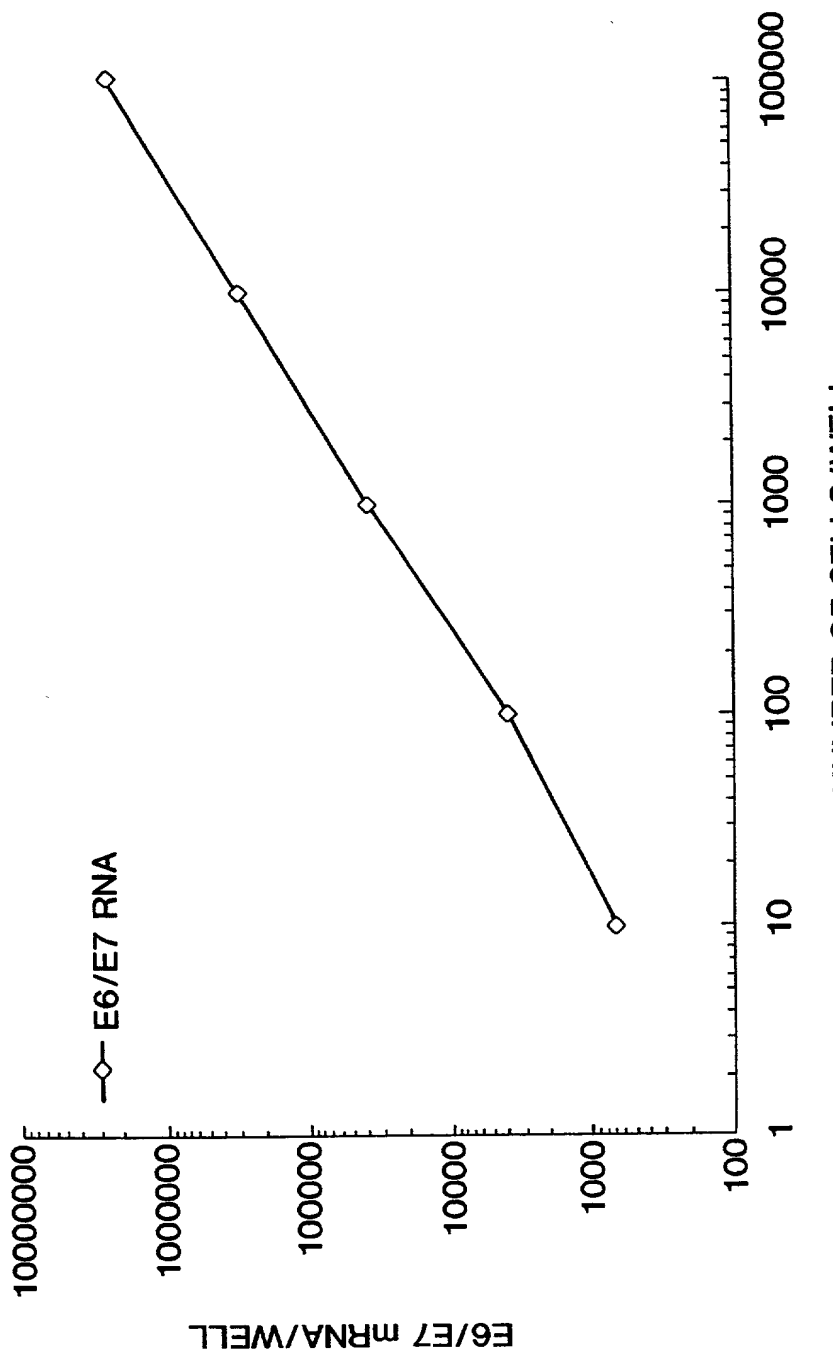
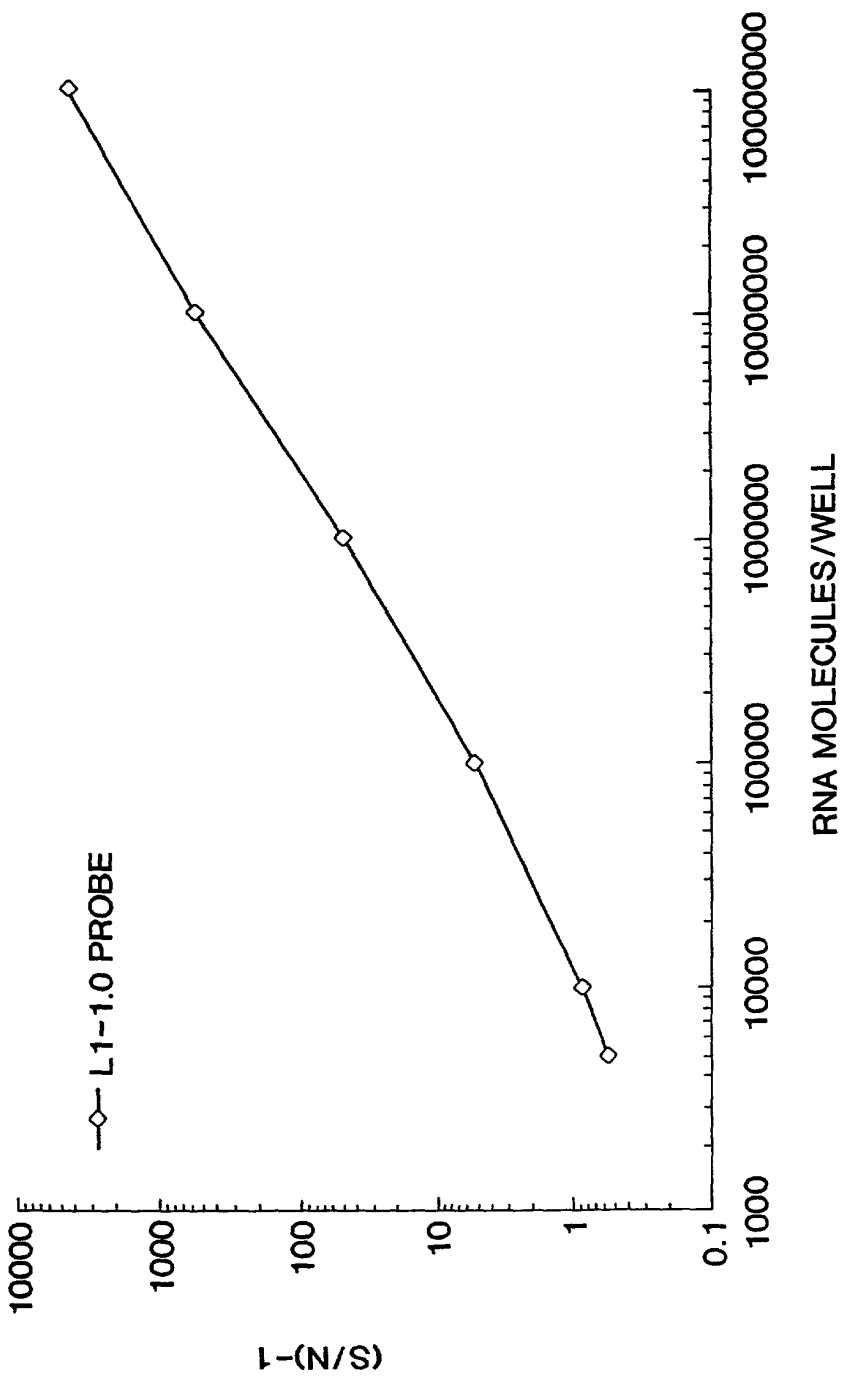


FIG. 1

ANALYTICAL SENSITIVITY OF HPV L1 RNA ASSAY



L2-HPV16

TTGTTGTATACCATAACTTACTATTTTTCTTTTATTTCATATATAATTTTTTT
 TGTTGTTGTTGTTTTAATAAACTGTTATTACTAACATGCGACACAAACGTTCT
 GCAAAACGCACAAACGTGCATCGGCTACCCAACTTATAAAACATGCAAACAGGCAGGT
 ACATGTCCACCTGACATTACCTAACGGTTGAAGGCAAAACTATTGCTGAACAAATATTA
 CAATATGGAAGTATGGGTGTATTTTGGTGGTTAGGAATTGGAACAGGGTCGGGTACA
 GGCAGCGACTGGTATATTCCATTGGAAACAAGGCCTCCACAGCTACAGATACTT
 GCTCCTGTAAGACCCCCTTAACAGTAGATCCTGTGGGCCCTCTGATCCTCTATAGTT
 TCTTTAGTGGAAAGAAACTAGTTTATTGATGCTGGTGCACCAACATCTGTACCTTCATT
 CCCCCAGATGTATCAGGATTTAGTATTACTACTTCAACTGATAACCACACCTGCTATATTA
 GATATTAATAACTGTTACTACTGTTACTACACATAATAATCCACTTCACTGACCCA
 TCTGTATTGCAGCCTCCAACACCTGCAGAAACTGGAGGGCATTACACTTCATCATCC
 ACTATTAGTACACATAATTATGAAGAAATTCTATGGATACTTATTGTTAGCACAAAC
 CCTAACACAGTAACTAGCACACCCATACCAGGGCTCGCCAGTGGCACGCCTAGGA
 TTATATAGTCGCACAACACAACAGGTTAAAGTTAGACCCCTGCTTTGTAACCACCTCC
 ACTAAACTTATTACATATGATAATCCTGCATATGAAGGTATAGATGTGGATAATACATTA
 TATTTTCTAGTAATGATAATAGTATTAATATAGCTCCAGATCCTGACTTTGGATATA
 GTTGCTTACATAGGCCAGCATTAAACCTCTAGGCGTACTGGCATTAGGTACAGTAGAATT
 GGTAATAAACAAACACTACGTACTCGTAGTGAAAATCTATAGGTGCTAAGGTACATTAT
 TATTATGATTAAAGTACTATTGATCCTGCAGAAGAAATAGAATTACAAACTATAACACCT
 TCTACATATACTACCACTTCACATGCAGCCTCACCTACTTCTATTAATAATGGATTATAT
 GATATTATGCAGATGACTTTATTACAGATACTTCTACAACCCGGTACCATCTGTACCC
 TCTACATCTTATCAGGTTATTCCTGCAAATACAACAATTCTTTGGTGGTGCATAC
 AATATTCTTAGTATCAGGTCTGATATAACCATTAATATAACTGACCAAGCTCCTCA
 TTAATTCTA

Fig. 3

L1-HPV16

GAGGCCACTGTCTACTGCCTCCTGCCCCAGTATCTAAGGTTGTAAGCACGGATGAATAT
 GTTGCACGCACAAACATATATTATCATGCAGGAACATCCAGACTACTGCAGTTGGACAT
 CCCTATTTCTATTAAAAACCTAACAAATAACAAAATATTAGTCCTAAAGTATCAGGA
 TTACAATACAGGGTATTTAGAATAACATTTACCTGACCCCAATAAGTTGGTTTCCTGAC
 ACCTCATTATATAATCCAGATAACACAGCGGCTGGTTGGGCCTGTGTAGGTGTTGAGGTA
 GGTCGTGGTCAGCCATTAGGTGTGGCATTAGTGGCCATCCTTATTAAATAAATTGGAT
 GACACAGAAAATGCTAGTGCTTATGCAGCAAATGCAGGTGTGGATAATAGAGAATGTATA
 TCTATGGATTACAAACAAACACAATTGTGTTAATTGGTTGCAAACCAACCTATAGGGAA
 CACTGGGCAAAGGATCCCCATGTACCAATGTTGCAGTAAATCCAGGTGATTGTCCACCA
 TTAGAGTTAATAAACACAGTTATTCAAGGATGGTGTATGGTCATACTGGCTTGGTCT
 ATGGACTTTACTACATTACAGGCTAACAAAAGTGAAGTTCCACTGGATATTGTACATCT
 ATTTGCAAATATCCAGATTATATTAAAATGGTGTCAAACCATATGGCACAGCTTATTT
 TTTTATTACGAAGGGACAAATGTTGTTAGACATTATTAATAGGGCTGGTACTGTT
 GGTGAAAATGTACCAAGACGATTATACATTAAAGGCTCTGGTCTACTGCAAATTAGCC
 AGTTCAAATTATTTCTACACCTAGTGGTCTATGGTACCTCTGATGCCAAATATTC
 AATAAACCTTATTGGTTACAACGAGCACAGGCCACAATAATGGCATTGTTGGGTAAC
 CAACTATTGTTACTGTTGTTGATACTACACGCAGTACAAATATGTCATTATGTGCTGCC
 ATATCTACTTCAGAAACTACATATAAAATACTAACCTTAAGGAGTACCTACGACATGG
 GAGGAATATGATTACAGTTATTTCAACTGTGCAAATAACCTTAACGACAGCT
 ATGACATACATACATTCTATGAATTCCACTATTTGGAGGACTGGAATTGGTCTACAA
 CCTCCCCCAGGAGGCACACTAGAAGATACTTATAGGTTGTAACCCAGGCAATTGCTGT
 CAAAAACATACACCTCCAGCACCTAAAGAAGATGATCCCCTTAAAAAATACACTTTGG
 GAAGTAAATTAAAGGAAAAGTTCTGCAGACCTAGATCAGTTCTTAGGACGCAA
 TTTTACTACAAGCAGGATTGAAGGCCAACCAAAATTACATTAGGAAAACGAAAAGCT
 ACACCCACCACTCATCTACACTAACGCTAAACGCAAAA

Fig. 4

E6/E7-HPV16

ACATTTATGCACCAAAAGAGAACTGCAATGTTCAGGACCCACAGGAGCGACCCAGAAA
GTTACCACAGTTATGCACAGAGCTGCAAACAACTATACATGATATAATATTAGAATGTGT
GTACTGCAAGCAACAGTTACTGCGACGTGAGGTATATGACTTGCTTTCGGGATTTATG
CATAGTATATAGAGATGGGAATCCATATGCTGTATGTGATAAATGTTAAAGTTTATTCT
TAAAATTAGTAGAGTATAGACATTATTGTTATAGTTGTATGGAACAAACATTAGAACAGCA
ATACAACAAACCGTTGTGTGATTGTTAATTAGGTGTATTAACGTCAAAAGCCACTGTG
TCCTGAAGAAAAGCAAAGACATCTGGACAAAAAGCAAAGATTCCATAATATAAGGGGTCG
GTGGACCGGTGATGTATGTCTTGTGCAGATCATCAAGAACACGTAGAGAAACCCAGCT
GTAATCATGCATGGAGATAACACCTACATTGCATGAATATATGTTAGATTGCAACCAGAG
ACAACGTACTCTACTGTTATGAGCAATTAAATGACAGCTCAGAGGAGGAGGATGAAATA
GATGGTCCAGCTGGACAAGCAGAACCGGACAGAGGCCATTACAATATTGTAACCTTTGT
TGCAAGTGTGACTCTACGCTTCGGTTGTGCGTACAAAGCACACACGTAGACATTGTA
TTGGAAGACCTGTTAATGGGCACACTAGGAATTGTGTGCCCCATCTGTTCTCAGAAACC

Fig. 5

E-2 HPV16

GAGGACGAGGACAAGGAAAACGATGGAGACTCTTGCCAACGTTAAATGTGTGTCAAGGA
CAAAATACTAACACATTATGAAAATGATAGTACAGACCTACGTGACCATATAGACTATTG
GAAACACATGCGCCTAGAATGTGCTATTATTACAAGGCCAGAGAAATGGGATTAAACA
TATTAACCACCAAGTGGTGCCAACACTGGCTGTATCAAAGAATAAAGCATTACAAGCAAT
TGAACCTGCAACTAACGTTAGAAACAATATATAACTCACAATATAGTAATGAAAAGTGGAC
ATTACAAGACGTTAGCCTTGAAGTGTATTAACTGCACCAACAGGATGTATAAAAAAAACA
TGGATATACAGTGGAAAGTGCAGTTGATGGAGACATATGCAATACAATGCATTATACAAA
CTGGACACATATATATTTGTGAAGAAGCAGTCAGTAACGTGGTAGAGGGTCAAGTTGA
CTATTATGGTTTATATTATGTTCATGAAGGAATACGAACATATTTGTGCAGTTAAAGA
TGATGCAGAAAAATATAGTAAAATAAGTATGGGAAGTTCATGCGGGTGGTCAGGTAAT
ATTATGTCCTACATCTGTGTTAGCAGCAACGAAGTATCCTCTCCTGAAATTATTAGGCA
GCACTTGGCCAACCACCCGCCGCGACCCATACCAAAGCCGTCGCCTGGCACCGAAGA
AACACAGACGACTATCCAGCGACCAAGATCAGAGCCAGACACCGGAAACCCCTGCCACAC
CACTAAGTTGTCACAGAGACTCAGTGGACAGTGCTCCAATCCTCACTGCATTAAACAG
CTCACACAAAGGACGGATTAACTGTAATAGTAACACTACACCCATAGTACATTAAAAGG
TGATGCTAATACTTAAAATGTTAAGATATAGATTAAAAGCATTGTACATTGTATAC
TGCAGTGTGCTACATGGCATTGGACAGGACATAATGTAACACATAAAAGTCAATTGT
TACACTTACATATGATAGTGAATGGCAACGTGACCAATTGTCTCAAGTTAAAATACC
AAAAACTATTACAGTGTCTACTGGATTATGTC

Fig. 6

E4 - HPV 1.6

CTACATCTGTGTTAGCAGCAACGAAGTATCCTCTCCTGAAATTATTAGGCAGCACTTGG
CCAACCACCCCGCCGCGACCCATACCAAAGCCGTCGCCTGGGCACCGAAGAACACAGA
CGACTATCCAGCGACCAAGATCAGAGCCAGACACCGGAAACCCCTGCCACACCACTAAGT
TGTTGCACAGAGACTCAGTGGACAGTGCTCCAATCCTCACTGCATTAAACAGCTCACACA
AAGGACGGATTAACGTAAATAG

Fig. 7